

## تحلیل ترکهای مورب و کنگرهای شکل تحت شرایط حالت ترکیبی I & II در صفحات محدود غیر متجانس با استفاده از روش انترگرال J

ناصر سلطانی

دانشیار گروه مهندسی مکانیک - دانشکده فنی - دانشگاه تهران

محمد نورین

کارشناس ارشد گروه مهندسی مکانیک - دانشکده فنی - دانشگاه تهران

(تاریخ دریافت ۲۲/۴/۷۶، تاریخ تصویب ۱۱/۷/۷۷)

### چکیده

در این مقاله، روش انترگرال J برای تحلیل ترکهای مورب و کنگرهای شکل، تحت شرایط حالت ترکیبی I و II در صفحاتی از جنس مواد غیرمتجانس، یکاربرده شده است. مقادیر تنش و تغییر مکانهای گری در مسیرهای انترگرال‌گیری، با استفاده از روش اجزاء محدود بدست آمده است. به منظور برداشتن قید در انتخاب دستگاه مختصات مورد استفاده در عملیات گره‌بندی روش اجزاء محدود، به صورت منطبق بر امتداد ترک، معادلات لازم برای محاسبه مؤلفه‌های I به شکلی بدست آمده که برای هر ترک مورب دلخواه، قابل کاربرد باشد. همچنین با انتخاب مسیر انترگرال‌گیری به شکل مستطیلی به موازات دستگاه مختصات مرجع، این معادلات به ساده‌ترین شکل از نظر محاسبات عددی نوشته شده است. مقایسه نتایج حاصل از مثالهای حل شده برای ترکهای مورب، با نتایج موجود در ادبیات فنی، تطابق رضایت‌بخشی را نشان می‌دهد. همچنین به منظور نشان دادن قابلیت کاربرد روش حاضر برای شکلهای پیچیده ترک، مسئله مربوط به یک ترک کنگرهای شکل، حل گردیده است.

### کلیدواژه‌ها: ترکهای صورت، غیرمتجانس، انترگرال I، مکانیک شکست

### مقدمه

بدست آمده بسیار محدود است و بیشتر روش‌های عددی موجود نیز به منظور تحلیل ترک در مواد متجانس بسط یافته‌اند. از طرف دیگر حاکم بودن ترکیبی از حالات بارگذاری (کششی، برش داخل صفحه، برش خارج صفحه) بر مسئله، پیچیدگی کار را دو چندان می‌سازد. لذا می‌توان گفت که مسئله یک ترک در صفحه‌ای محدود از جنس مواد غیرمتجانس و در حالت ترکیبی از جمله مسائل پیچیده در تحلیل ترکها محسوب می‌گردد. راه حل عملی و سریع برای دستیابی به تحلیل چنین مسائلی را باستی در بین روش‌های عددی جستجو کرد.

Wilson [۱] مسئله حالت ترکیبی I و II را برای تعیین

تحلیل مسائل ترک در «مواد غیر متجانس» و بویژه در «مواد مرکب» از اهمیت قابل ملاحظه‌ای برخوردار است و این به واسطه نقش فزاپنده‌ای است که مواد مرکب در تکنولوژی مدرن ایفا می‌کنند. خواص جهتی مواد مرکب مانند پشم شیشه با الیاف جهتی - مواد مرکب از فلزات با الیاف تقویتی، چوب و مواد دیگر غالباً «ارتیتروپیک» بوده و از نقطه‌ای به نقطه دیگر به شکل خطی تغییر می‌کند. همزمان با افزایش کاربرد مواد مرکب بویژه در دو دهه اخیر تلاش‌های بسیاری به منظور دستیابی به حل‌های تحلیلی در مواد مرکب الاستیک صورت گرفته است. با وجود این به علت پیچیدگی ساختاری مواد مرکب، حل‌های

Rice [۱۳] با کامل نمودن Sanders و Cherpanov نشان داد که نرخ رهایش انرژی در یک ماده همگن برای رشد یک ترک دو بعدی در صفحه خودش برابر با انتگرال مستقل از مسیر J است. وی این انتگرال را به شکل زیر معرفی نمود

$$J = \int_C W dy - T_i \frac{\partial u_i}{\partial x} ds \quad (1)$$

$$T_i = \sigma_{ij} n_j \quad (2)$$

$$W = \int_0^e \sigma_{ij} d\varepsilon_{ij} \quad (3)$$

J [۱۴] Knowles ، Sternberg متناظر با نرخ رهایش انرژی برای حرکت لبه ترک در تمام جهات، تعمیم دادند. بعلاوه آنها براساس اصل حداقل انرژی پتانسیل در میدانهای «الاستو استاتیک» دو انتگرال مستقل از مسیر دیگر بنام L و M نیز بدست آورده‌اند که یکی از آنها برای هر جامد الاستیکی معتبر است و دیگری تنها برای جامدهای متجانس اعتبار دارد. برای حالت سه بعدی مؤلفه‌های J از رابطه زیر بدست می‌آید.

$$J_k = \int_S (W n_k - T_i u_{i,k}) dA \quad (4)$$

در رابطه فوق S سطحی بسته با بردار عمود n بطرف بیرون می‌باشد. برای حالت دو بعدی انتگرال روی سطح فوق به انتگرال روی خط زیر تبدیل می‌شود، که در آن C یک منحنی بسته در صفحه  $x_1 x_2$  است.

$$J_k = \int_C (W n_k - T_i u_{i,k}) ds \quad (5)$$

Budiansky & Rice [۱۵] نشان دادند که انتگرالهای J، L و M را می‌توان به ترتیب، نرخ رهایش انرژی در ارتباط با انتقال، دوران و انساط یک حفره (در حالت دو بعدی یک ترک) دانست. بر اساس این تعبیر می‌توان J را با رابطه دیفرانسیلی زیر نشان داد، که در آن  $\Pi$  انرژی پتانسیل کل جسم و a طول ترک است.

$$J = - \frac{d\Pi}{da} \quad (6)$$

ضرایب شدت تنش در یک صفحه تحت کشش از جنس مواد متجانس، با استفاده از روش ترتیبی مرزی حل کرد. در روش ترتیبی مرزی، زمان مورد نیاز برای انجام محاسبات کمتر است و از آنجا که در این روش با انتخاب تابع تنش مناسب، شرایط مرزی روی سطح ترک و تکینگی موجود در نوک ترک بطور کامل ارضا می‌گردد، نسبت به سایر روش‌های عددی، دقیق‌تر است. ولی اشکال اصلی این روش در بدست آوردن تابع تنش مذکور نهفته است و به سبب دشواری یا عدم امکان دستیابی به تابع تنش مورد نیاز، حل‌های بدست آمده در زمینه مسائل حالت ترکیبی در صفحات محدود غیرمتجانس، جامع نبوده و تنها برای اشکال ساده ترک، بدست آمده است [۲۱، ۲۰، ۲۳، ۴، ۵]. روش اجزاء محدود که به عنوان ابزاری قدرتمند در تحلیل سازه‌ها شناخته شده است به جهت قابلیت تحلیل مسائل پیچیده ترک از نظر بارگذاری، هندسه قطعه، شکل ترک و خواص مواد، امکان حل مسائل مورد بحث را فراهم می‌سازد، اما به علت تکینگی موجود در نوک ترک، معمولاً به صورت مستقیم مورد استفاده قرار نگرفته، بلکه همراه با روشی مکمل، بکار برده می‌شود. روش انتگرال J در زمرة این روش‌های مکمل است که علاوه بر قابلیت کاربرد در زمینه مواد غیرمتجانس الاستیک (اعم از خطی یا غیرخطی)، به لحاظ برخورداری از ویژگی استقلال از مسیر، دوری جستن از تکینگی موجود در نوک ترک را میسر می‌سازد [۶، ۷، ۸].

نخستین بار در ۱۹۶۵ Eshelby [۹] در مقاله‌ای که به تئوری پیوستگی عیوب شبکه اختصاص داشت، با استفاده از تانسور مومنت انرژی تعدادی انتگرال خط مستقل از مسیر معرفی کرد که در غیاب عیوب، نشان دهنده قانون بقای انرژی برای تغییر شکلهای کوچک در مواد الاستیک و همگن (ولی نه لزوماً متجانس) بود. چندی بعد Sanders [۱۰] براساس تئوری Irwin-Griffith [۱۱] معياری معادل برای رشد ترک، بر حسب یک انتگرال خط مستقل از مسیر بدست آورد. Cherpanov [۱۲] با اعمال قانون بقای انرژی برای یک جسم ترکدار، معادله‌ای را به صورت انتگرالی مستقل از مسیر برای نرخ انرژی مصرف شده در واحد سطح به منظور رشد ترک، بدست آورد.

$$\alpha_{ik} = \alpha_{ik} - \frac{\alpha_{i3} \alpha_{k3}}{\alpha_{33}} \quad i,k=1,2,6 \quad (8)$$

قانون هوک برای حالت کرنش صفحه‌ای از نظر تشکیل روابط به صورت قانون هوک برای حالت تنش صفحه‌ای درمی‌آید. در غیاب نیروهای حجمی می‌توان از تابع تنش «آیری»  $U(x,y)$  برای توصیف تنشها به شکل زیر استفاده کرد.

$$\sigma_x = \frac{\partial^2 U}{\partial y^2}, \sigma_y = \frac{\partial^2 U}{\partial x^2}, \sigma_{xy} = -\frac{\partial^2 U}{\partial x \partial y} \quad (9)$$

تنها شرط سازگاری نیز به صورت زیر خواهد بود و سایر شرایط خود به خود ارضاء می‌شوند.

$$\frac{\partial^2 \gamma_{xy}}{\partial x \partial y} = \frac{\partial^2 \varepsilon_x}{\partial y^2} + \frac{\partial^2 \varepsilon_y}{\partial x^2} \quad (10)$$

با جاگذاری روابط (7) و (9) در معادله فوق و پس از ساده سازی خواهیم داشت؛

$$\alpha_{22} \frac{\partial^4 U}{\partial x^4} - 2\alpha_{26} \frac{\partial^4 U}{\partial x^3 \partial y} + (2\alpha_{12} + \alpha_{66}) \frac{\partial^4 U}{\partial x^2 \partial y^2} - 2\alpha_{16} \frac{\partial^4 U}{\partial x \partial y^3} + \alpha_{11} \frac{\partial^4 U}{\partial y^4} = 0 \quad (11)$$

حل زیر که در آن  $\frac{b}{a} = \mu$  می‌باشد، یک حل خصوصی برای معادله فوق است.

$$U = \operatorname{Re} \{U_0 \exp(ax + by)\} \quad (12)$$

برای اینکه حل فوق در معادله (11) صدق کند، بایستی روابط زیر برقرار باشد.

$$\alpha_{11} \mu^4 - \alpha_{16} \mu^3 + (2\alpha_{12} + \alpha_{66}) \mu^2 - \alpha_{26} \mu + \alpha_{22} = 0 \quad (13)$$

معادله (13) نمی‌تواند ریشه حقیقی داشته باشد زیرا در صورت وجود ریشه حقیقی با فرض انرژی کرنشی صفر خواهد شد. ولی این موضوع نمی‌تواند صادق باشد، زیرا ماتریس ضرایب الاستیک در دستگاه معادلات (7) به صورت مثبت تعریف شده است. بنابراین ریشه‌های معادله (13) بایستی به شکل مختلط باشد. یعنی؛

$$\begin{aligned} \mu_1 &= \alpha_1 + i\beta_1, \mu_2 = \alpha_2 + i\beta_2, \mu_3 = \alpha_1 - i\beta_1, \mu_4 \\ &= \alpha_2 - i\beta_2 \end{aligned} \quad (14)$$

که در آن  $\alpha_1, \alpha_2, \beta_1$  و  $\beta_2$  ثابت‌های حقیقی هستند و نیز

Helan & Blackborn [16] روش انتگرال J را برای محاسبه زاویه پیشروی ترک در حالت ترکیبی I و II بکار برداشت. Bergqvist & Huong [17] نیز رابطه‌ای برای محاسبه انتگرال J در حالت تقارن محوری بدست آوردند. Wang et al. [18] با روشی مشتمل بر کاربرد توأم انتگرال J و M، ضرایب شدت تنش را برای مسائل ترک صفحه‌ای در مواد غیرمتجانس و در حالت ترکیبی I و II بدست آوردند. اخیراً نیز Chiarelli & Frediani [19] با تعمیم رابطه‌ای که توسط Frediani et al. برای انتگرال J دو بعدی، با فرض حضور نیروهای مرکزی داخل مسیر انتگرال گیری بدست آمده بود، رابطه جامعی برای انتگرال J در حالت سه بعدی، شامل حضور نیروهای مذکور، اثرات شبیب دما، میدانهای اینرسی و نیروهای حجمی ارائه داده‌اند.

### تشکیل روابط لازم

در این بخش ابتدا صورت کلی میدانهای تنش و تغییر مکان برای مواد غیرمتجانس در حالت دو بعدی استخراج شده و سپس با استفاده از آنها میدانهای تنش و تغییر مکان تکین در نوک ترک بدست آمده است. در حالت تنش صفحه‌ای  $\sigma_z, \tau_{xz}, \tau_{yz} = 0$  بوده ولذا قانون هوک به شکل زیر درمی‌آید. (لازم به توضیح است که برای مواد غیرمتجانس روابط جامعی توسط Lekhnitski [20] ارائه شده است).

$$\begin{aligned} \varepsilon_x &= \frac{\partial u}{\partial x} = \alpha_{11} \sigma_x + \alpha_{12} \sigma_y + \alpha_{16} \tau_{xy} \\ \varepsilon_y &= \frac{\partial v}{\partial y} = \alpha_{12} \sigma_x + \alpha_{22} \sigma_y + \alpha_{26} \tau_{xy} \\ \gamma_{xy} &= \frac{\partial u}{\partial y} + \frac{\partial v}{\partial x} = \alpha_{16} \sigma_x + \alpha_{26} \sigma_y + \alpha_{66} \tau_{xy} \end{aligned} \quad (V)$$

در دستگاه معادلات فوق ضرایب  $\alpha_{ik}$  که یک ماتریس متقارن را تشکیل می‌دهند، حقیقی و ثابتند و به ضرایب «کامپلینس» موسومند و بعلاوه ماتریس به صورت مثبت تعریف می‌گردد. در حالت کرنش صفحه‌ای رابطه زیر نیز برقرار است.

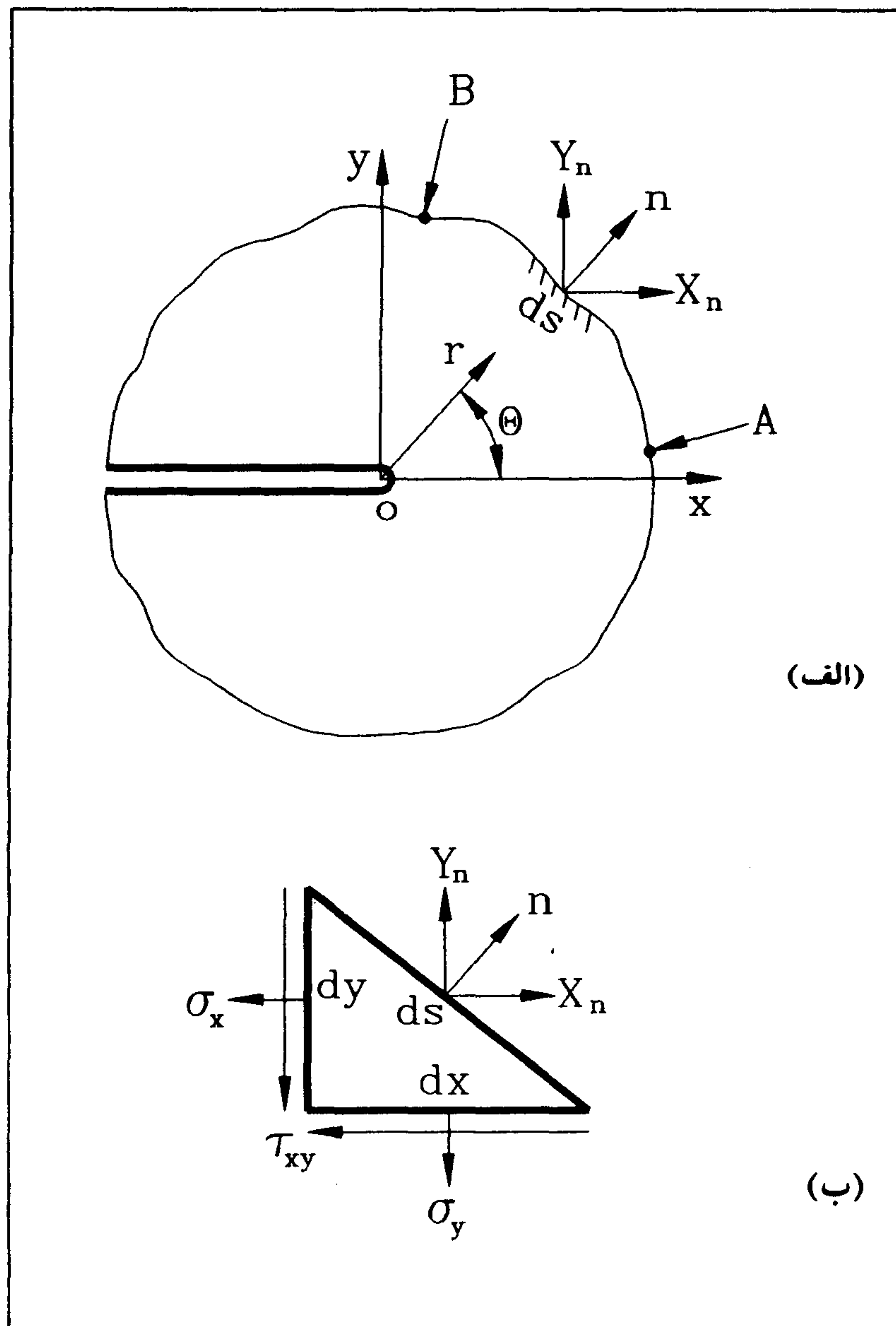
$$\varepsilon_z = \alpha_{13} \sigma_x + \alpha_{23} \sigma_y + \alpha_{33} \sigma_z + \alpha_{36} \tau_{xy}$$

بنابراین با انتخاب ضرایب به شکل؛

شکل (۱-الف) در نظر گرفته شده و فرض شده است که بر سطح ترک نیروهای سطحی وارد نشود.  
برآیند نیروهای سطحی که بر کمان دلخواه AB اثر می‌کند از رابطه زیر بدست می‌آید.

$$X+iY = \int_A^B (X_n + iY_n) ds \quad (21)$$

از طرفی از شکل (۱-ب) داریم:



شکل ۱: (الف) - جسم غیرمتجانس دارای ترک (ب) - نیروهای وارد بر یک کمان کوچک به ضخامت واحد

$$X_n ds = \sigma_x dy + \tau_{xy} dx \quad (22)$$

$$Y_n ds = \tau_{xy} dy + \sigma_y dx$$

با جاگذاری از روابط (۱۷) و (۲۲) در رابطه (۲۱) نتیجه می‌شود که؟

$$X+iY = -i [P(z_1, z_2)]_A^B \quad (23)$$

که در آن

$$P(z_1, z_2) = (1+\mu_1)\varphi(z_1) + (1+\bar{\mu}_1)\varphi(z_1) + (1+\mu_2)\psi(z_2) + (1+\bar{\mu}_2)\psi(z_2) \quad (24)$$

می‌توان فرض کرد که  $\beta_1 > 0$  و  $\beta_2 > 0$  باشد. با فرض  $z_j = x + \mu_j y$  با توجه به آنچه تاکنون بیان گردید، حل عمومی را می‌توان به شکل زیر در نظر گرفت:

$$U(x, y) = \varphi_1(z_1) + \varphi_2(z_2) + \overline{\varphi_1(z_1)} + \overline{\varphi_2(z_2)} \\ = 2\operatorname{Re}[\varphi_1(z_1) + \varphi_2(z_2)] \quad (15)$$

در رابطه فوق  $\varphi_1(z_1)$  و  $\varphi_2(z_2)$  به ترتیب توابع تحلیلی از  $z_1$  و  $z_2$  هستند. حال با فرض:

$$\frac{d\varphi_1(z_1)}{dz_1} = \varphi'_1(z_1) = \varphi(z_1), \frac{d\varphi_2(z_2)}{dz_2} \\ = \varphi'_2(z_2) = \psi(z_2) \quad (16)$$

با استفاده از روابط (۹) تنشها را بدست می‌آوریم. لذا با توجه به استدلال قبل تنشها از روابط (۹) و (۱۶) به شکل زیر بدست می‌آیند.

$$\sigma_x = \frac{\partial^2 U(x, y)}{\partial y^2} = 2\operatorname{Re}[\mu_1^2 \varphi''(z_1) + \mu_2^2 \varphi''(z_2)] \\ = 2\operatorname{Re}[\mu_1^2 \varphi'(z_1) + \mu_2^2 \psi'(z_2)]$$

$$\sigma_y = \frac{\partial^2 U(x, y)}{\partial x^2} = 2\operatorname{Re}[\varphi''(z_1) + \varphi''(z_2)] \\ = 2\operatorname{Re}[\varphi'(z_1) + \psi'(z_2)] \quad (17)$$

$$\tau_{xy} = -\frac{\partial^2 U(x, y)}{\partial x \partial y} = -2\operatorname{Re}[\mu_1 \varphi''(z_1) + \mu_2 \varphi''(z_2)] \\ = -2\operatorname{Re}[\mu_1 \varphi'(z_1) + \mu_2 \psi'(z_2)]$$

تغییر مکانها نیز با استفاده از قانون هوک (۷) و انتگرال گیری از روابط کرنش تغییر مکان زیر:

$$\varepsilon_x = \frac{\partial u}{\partial x}, \varepsilon_y = \frac{\partial v}{\partial y}, \gamma_{xy} = \frac{\partial v}{\partial x} + \frac{\partial u}{\partial y} \\ = \frac{\partial u}{\partial y} + \frac{\partial v}{\partial x} \quad (18)$$

عبارتند از:

$$u = 2\operatorname{Re}[p_1 \varphi(z_1) + p_2 \psi(z_2)] \quad (19)$$

$$v = 2\operatorname{Re}[q_1 \varphi(z_1) + q_2 \psi(z_2)]$$

که در آن  $p_j$  و  $q_j$  به صورت زیر تعریف می‌شوند:

$$p_j = \alpha_{11} \mu_j^2 + \alpha_{12} - \alpha_{16} \mu_j \quad (20)$$

$$q_j = \alpha_{12} \mu_j + \alpha_{22} / \mu_j - \alpha_{26}$$

برای بدست آوردن میدانهای تنش و تغییر مکان تکین در نوک ترک، جسمی غیرمتجانس مانند

تنش صفحه‌ای به صورت زیر بدست می‌آید.

$$\sigma_x = \frac{K_I}{\sqrt{2\pi}} \operatorname{Re} \left\{ \frac{\mu_1 \mu_2}{\mu_1 - \mu_2} \left( \frac{\mu_2}{\sqrt{z_2}} - \frac{\mu_1}{\sqrt{z_1}} \right) \right\} + \frac{K_{II}}{\sqrt{2\pi}} \operatorname{Re} \left\{ \frac{1}{\mu_1 - \mu_2} \left( \frac{\mu_2^2}{\sqrt{z_2}} - \frac{\mu_1^2}{\sqrt{z_1}} \right) \right\} \quad (32)$$

$$\sigma_y = \frac{K_I}{\sqrt{2\pi}} \operatorname{Re} \left\{ \frac{1}{\mu_1 - \mu_2} \left( \frac{\mu_1}{\sqrt{z_2}} - \frac{\mu_2}{\sqrt{z_1}} \right) \right\} + \frac{K_{II}}{\sqrt{2\pi}} \operatorname{Re} \left\{ \frac{1}{\mu_1 - \mu_2} \left( \frac{1}{\sqrt{z_1}} - \frac{1}{\sqrt{z_2}} \right) \right\} \quad (33)$$

$$\tau_{xy} = \frac{K_I}{\sqrt{2\pi}} \operatorname{Re} \left\{ \frac{\mu_1 \mu_2}{\mu_1 - \mu_2} \left( \frac{1}{\sqrt{z_1}} - \frac{1}{\sqrt{z_2}} \right) \right\} + \frac{K_{II}}{\sqrt{2\pi}} \operatorname{Re} \left\{ \frac{1}{\mu_1 - \mu_2} \left( \frac{\mu_1}{\sqrt{z_1}} - \frac{\mu_2}{\sqrt{z_2}} \right) \right\} \quad (34)$$

$$u = \frac{K_I \sqrt{2}}{\sqrt{\pi}} \left\{ \frac{1}{\mu_1 - \mu_2} (\mu_1 P_2 \sqrt{z_2} - \mu_2 P_1 \sqrt{z_1}) \right\}$$

$$+ \frac{K_{II} \sqrt{2}}{\sqrt{\pi}} \left\{ \frac{1}{\mu_1 - \mu_2} (P_2 \sqrt{z_2} - P_1 \sqrt{z_1}) \right\} \quad (35)$$

$$v = \frac{K_I \sqrt{2}}{\sqrt{\pi}} \left\{ \frac{1}{\mu_1 - \mu_2} (\mu_1 q_2 \sqrt{z_2} - \mu_2 q_1 \sqrt{z_1}) \right\}$$

$$+ \frac{K_{II} \sqrt{2}}{\sqrt{\pi}} \left\{ \frac{1}{\mu_1 - \mu_2} (q_2 \sqrt{z_2} - q_1 \sqrt{z_1}) \right\} \quad (36)$$

برای استخراج رابطه بین مؤلفه‌های بردار  $\delta$  و ضرایب شدت تنش  $K_I$  و  $K_{II}$ ، ترکی مطابق با شکل (۲) به طول  $a$  در نظر می‌گیریم و فرض می‌کنیم که بطور مجازی و به اندازه  $\delta a$  درامتداد راستای اولیه ترک رشد کرده است. از آنجاکه ترک نسبت به محور بارگذاری به صورت مورب قرار گرفته است، مسئله ترکیبی از حالتهای I و II خواهد بود.

با فرض حالت تغییر مکان ثابت، کاهش انرژی پتانسیل ناشی از رشد ترک  $\delta a$  با رابطه زیر داده می‌شود.

$$\delta U = -2 \int_0^{\delta a} \frac{1}{2} \sigma_{ij} u_i n_j ds \quad (37)$$

همانطور که می‌دانیم تنشها در همسایگی نوک ترک متناسب با معکوس ریشه دوم فاصله از این نقطه است. از طرفی با توجه به اینکه در رابطه (۱۷) مشتق توابع  $\varphi(z_1)$  و  $\varphi(z_2)$  در توصیف تنشها نقش دارند، لذا رفتار توابع  $\varphi(z_1)$  و  $\varphi(z_2)$  در نزدیکی نوک ترک را می‌توان به شکل زیر در نظر گرفت؟

$$\varphi(z_1) = a_r \sqrt{z_1}, \varphi(z_2) = b_r \sqrt{z_2} \quad (25)$$

که در آن  $a_r$  و  $b_r$  ضرایب معین مختلط هستند. برای محور  $x$  ( $y = 0$ ) داریم:

$$\sqrt{z_1} = \sqrt{z_2} = \sqrt{x} \quad \text{برای } x > 0 \quad (26)$$

$$\sqrt{z_1} = \sqrt{z_2} = \pm i \sqrt{-x} \quad \text{برای } x \leq 0 \quad (27)$$

حال، اعمال شرط عدم وجود نیروهای سطحی در سطح ترک با توجه به رابطه (۲۳) ایجاب می‌کند که:

$$X + i Y = 0 \Rightarrow P(z_1, z_2) = \text{Const} \quad (28)$$

لذا با اعمال روابط (۲۴) و (۲۷) برای نوک ترک خواهیم داشت:

$$(1+i\mu_1)a_r - (1+i\bar{\mu}_1)\bar{a}_r + (1+i\mu_2)b_r - (1+i\bar{\mu}_2)\bar{b}_r = 0 \quad (29)$$

$$\Rightarrow (a_r - \bar{a}_r) + i(\mu_1 a_r - \bar{\mu}_1 \bar{a}_r) + (b_r - \bar{b}_r) + i(\mu_2 b_r - \bar{\mu}_2 \bar{b}_r) = 0$$

$$\Rightarrow 2 \operatorname{Im}(a_r + b_r) + i 2 \operatorname{Im}(\mu_1 a_r + \mu_2 b_r) = 0$$

$$\Rightarrow \operatorname{Im}(a_r + b_r) = 0, \operatorname{Im}(\mu_1 a_r + \mu_2 b_r) = 0$$

بنابراین دو پارامتر حقیقی  $k_I$  و  $k_{II}$  وجود دارند، به قسمی که:

$$(a_r + b_r) = \frac{K_I}{\sqrt{2\pi}} \quad (30)$$

$$(\mu_1 a_r + \mu_2 b_r) = -\frac{K_{II}}{\sqrt{2\pi}}$$

و از دو معادله فوق داریم:

$$a_r = \frac{\mu_2 k_I + k_{II}}{\sqrt{2\pi(\mu_2 - \mu_1)}}, \quad b_r = \frac{\mu_1 k_I + k_{II}}{\sqrt{2\pi(\mu_1 - \mu_2)}} \quad (31)$$

حال با استفاده از روابط (۱۷)، (۲۵)، (۱۹) و (۳۱) میدانهای تنش و تغییر مکان حول نوک ترک برای حالت

## خواهیم رسید.

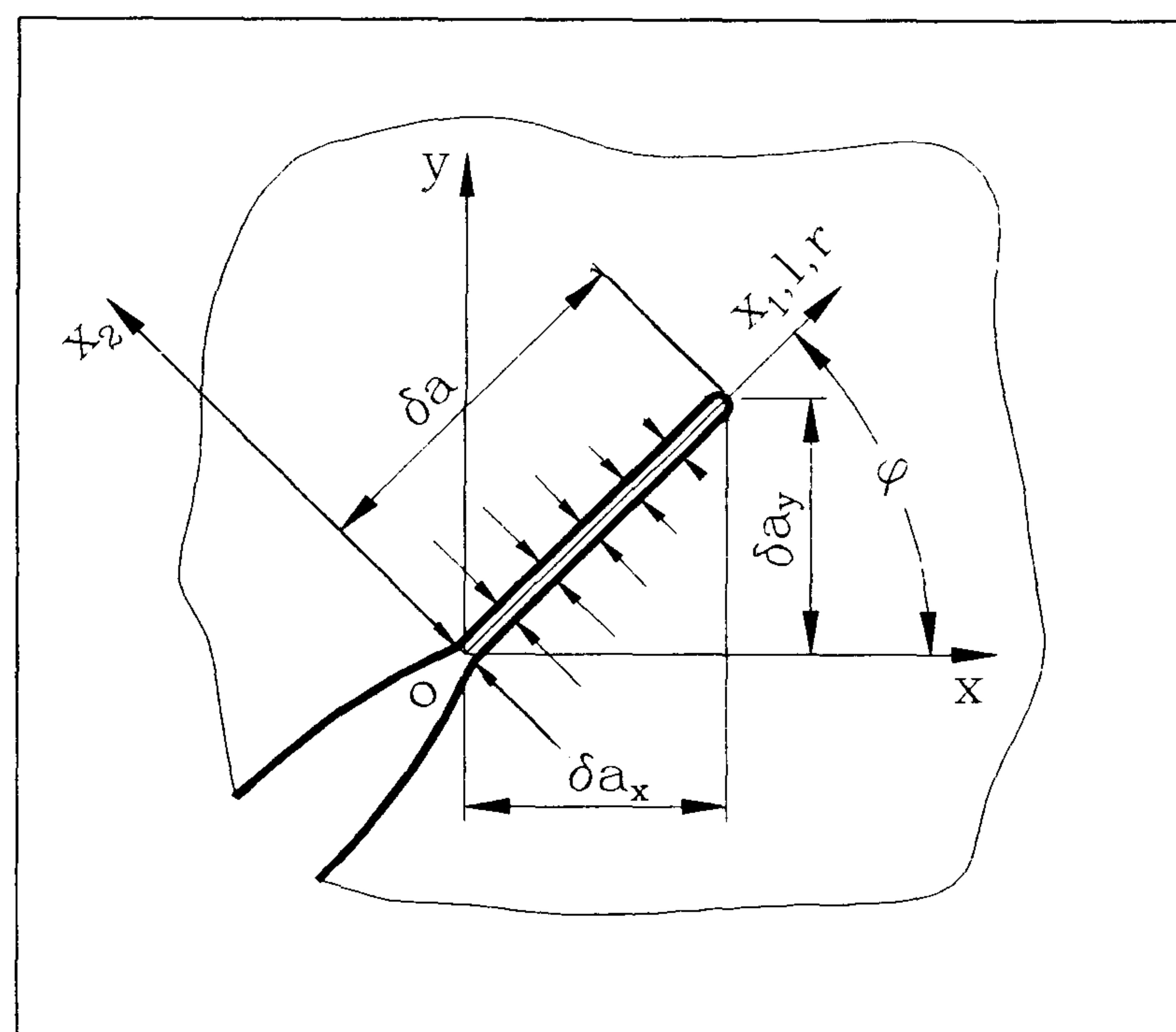
$$\begin{aligned} J_1 &= \left[ \frac{-\alpha_{22}}{2} \frac{\mu_1 + \mu_2}{\mu_1 \mu_2} \right] k_I^2 + [\alpha_{11} \operatorname{Im}(\mu_1 \mu_2)] k_I k_{II} \\ &\quad + \left[ \frac{\alpha_{11}}{2} \frac{\operatorname{Im}(\mu_1 + \mu_2)}{\mu_1 \mu_2} \right] k_{II}^2 \\ J_2 &= [\operatorname{Re}(\mu_1 \mu_2) \frac{\alpha_{11}}{2} \frac{\operatorname{Im}(\mu_1 + \mu_2)}{\mu_1 \mu_2}] k_I^2 \\ &\quad + [\operatorname{Re}(\mu_1 \mu_2) \frac{\alpha_{11}}{2} \frac{\operatorname{Im}(\mu_1 + \mu_2)}{\mu_1 \mu_2} + \frac{\alpha_{16}}{2} \operatorname{Im}(\mu_1 \mu_2) \\ &\quad + \frac{\alpha_{22}}{2} \frac{\mu_1 + \mu_2}{\mu_1 \mu_2} k_I k_{II} + \frac{\alpha_{16}}{2} \operatorname{Im}(\mu_1 + \mu_2) \\ &\quad + \frac{\alpha_{22}}{2} \frac{1}{\mu_1 \mu_2} \operatorname{Im}(\mu_1 + \mu_2)] k_{II}^2 \end{aligned} \quad (40)$$

برای مواد متتجانس  $\alpha_{11} = \alpha_{22} = \frac{\kappa+1}{\kappa-\nu}$  و  $\alpha_{16} = 0$  و  $\mu_1 = \mu_2 = i$  بوده ولذا روابط فوق به شکل زیر در می‌آیند که در آن  $\frac{3-\nu}{1+\nu} = \kappa$  برای حالت تنفس صفحه‌ای و  $\kappa = 3 - \frac{3}{4\nu}$  برای حالت کرنش صفحه‌ای است.

$$\begin{aligned} J_1 &= \frac{\kappa+1}{8\mu} (k_I^2 + k_{II}^2) \\ J_2 &= \frac{\kappa+1}{8\mu} (-2 k_I k_{II}) \end{aligned} \quad (41)$$

محاسبه عددی انتگرال  $J$ 

با معلوم بودن میدان تنفس و تغییر مکان در یک جسم دارای ترک، می‌توان مؤلفه‌های  $J$  را با استفاده از معادله (۵) بدست آورد. ولی باید به خاطر داشت که معادله مذکور در دستگاه مختصاتی بدست آمده که یکی از محورهای آن در امتداد ترک واقع شده است و این در حالی است که گاهی شرایط مسئله ایجاب می‌کند که تنها و تغییر مکانها را در دستگاه مختصاتی بدست آورد که بر دستگاه مختصات موردنظر منطبق نیست. همچنین بایستی توجه داشت که روش اجزاء محدود، تنها و تغییر مکانها را به صورت عددی و در نقاط گرهی بدست می‌دهد، نه بصورت عبارات جبری. لذا، ابتدا معادلات لازم برای محاسبه مؤلفه‌های  $J$  را به شکلی بدست می‌آوریم که برای هر ترک مورب دلخواه قابل کاربرد باشد و سپس آن را به شکلی می‌نویسیم که به صورت عددی قابل محاسبه باشد. برای



شکل ۲: ترک مورب که قسمت رشد کرده آن، توسط نیروهای سطحی بسته شده است.

همانطور که در شکل (۲) مشاهده می‌شود ترک  $\delta a$  را می‌توان به دو مؤلفه  $\delta a_x$  و  $\delta a_y$  تجزیه نمود. از طرفی با توجه به تعبیر فیزیکی  $J$  می‌دانیم که مؤلفه آن برابر  $J$  بردار  $\mathbf{J}$  با نرخ رهایش انرژی ناشی از رشد ترک، در جهت محور  $i$  است، یعنی:

$$J_i = - \lim_{\delta a_i \rightarrow 0} \frac{\delta U}{\delta a_i} \quad (38)$$

در نتیجه با استفاده از این تعبیر و رابطه (۳۷) می‌توان مؤلفه‌های  $J$  را در دستگاه مختصات  $xy$  بدست آورد. اما از آنجا که معادلات (۳۶) تا (۳۲) در دستگاه مختصاتی بدست آمده که محورهای آن در امتداد و عمود بر ترک قرار گرفته‌اند، لذا با استفاده از روابط تبدیل مختصات، مؤلفه‌های  $J$  را در دستگاه مختصات  $x_1 x_2$  بصورت زیر بدست می‌آید.

$$\begin{aligned} J_1 &= \lim_{\delta a \rightarrow 0} \frac{1}{\delta a} \int_0^{\delta a} (\tau_{12} u_1 + \sigma_2 u_2) dl \\ J_2 &= \lim_{\delta a \rightarrow 0} \frac{-1}{\delta a} \int_0^{\delta a} (\sigma_1 u_1 + \tau_{12} u_2) dl \end{aligned} \quad (39)$$

حال با استفاده از معادلات (۳۶) تا (۳۲) تنها را برای  $\theta = \pi$  و  $\varphi = 0$  و تغییر مکانها را برای  $1 - r = \delta a$  و  $r = 0$  بدست آورده و در روابط (۳۹) قرار می‌دهیم، سپس با انتگرال‌گیری از روابط حاصل و با توجه به روابطی که بین ریشه‌های معادله مشخصه (۱۳) برقرار است، به روابط زیر

$$\begin{aligned}\frac{\partial}{\partial x_1} &= \frac{\partial}{\partial x} \cdot \frac{\partial x}{\partial x_1} + \frac{\partial}{\partial y} \cdot \frac{\partial y}{\partial x_1} = \cos\varphi \frac{\partial}{\partial x} + \sin\varphi \frac{\partial}{\partial y} \\ \frac{\partial}{\partial x_2} &= \frac{\partial}{\partial x} \cdot \frac{\partial x}{\partial x_2} + \frac{\partial}{\partial y} \cdot \frac{\partial y}{\partial x_2} = -\sin\varphi \frac{\partial}{\partial x} + \cos\varphi \frac{\partial}{\partial y}\end{aligned}\quad (45)$$

از شکل (۴) نیز داریم:

$$\cos\alpha \cdot ds = dy, \quad \sin\alpha \cdot ds = -dx \quad (46)$$

حال با استفاده از رابطه اول (۴۵) و روابط سوم و چهارم  
خواهیم داشت:

$$\begin{aligned}\frac{\partial u_n}{\partial x_1} &= \cos\varphi \cdot \cos\alpha \frac{\partial u}{\partial x} + \cos\varphi \cdot \sin\alpha \frac{\partial v}{\partial x} \\ &\quad + \sin\varphi \cdot \cos\alpha \frac{\partial u}{\partial y} + \sin\varphi \cdot \sin\alpha \frac{\partial v}{\partial y} \\ \frac{\partial v_n}{\partial x_1} &= -\cos\varphi \cdot \sin\alpha \frac{\partial u}{\partial x} + \cos\varphi \cdot \cos\alpha \frac{\partial v}{\partial x} \\ &\quad - \sin\varphi \cdot \sin\alpha \frac{\partial u}{\partial y} + \sin\varphi \cdot \cos\alpha \frac{\partial v}{\partial y}\end{aligned}\quad (47)$$

واز جاگذاری روابط (۴۷) و (۴۴) و روابط اول و دوم (۴۳)

در رابطه (۴۲) پس از ساده سازی خواهیم داشت:

$$\begin{aligned}J_1 &= \int_C W (-\sin\varphi dx + \cos\varphi dy) \\ &\quad - \int_C \sigma_x \left( \frac{\partial u}{\partial x} \cos\varphi + \frac{\partial u}{\partial y} \sin\varphi \right) \cos\alpha ds \\ &\quad + \int_C \sigma_y \left( \frac{\partial v}{\partial x} \cos\varphi + \frac{\partial v}{\partial y} \sin\varphi \right) \sin\alpha ds \\ &\quad - \int_C \tau_{xy} \left( \frac{\partial u}{\partial x} \cos\varphi + \frac{\partial u}{\partial y} \sin\varphi \right) \sin\alpha ds \\ &\quad + \tau_{xy} \left( \frac{\partial v}{\partial x} \cos\varphi + \frac{\partial v}{\partial y} \sin\varphi \right) \cos\alpha ds\end{aligned}\quad (48)$$

با جاگذاری رابطه (۴۶) و روابط کرنش - تغییر مکان در

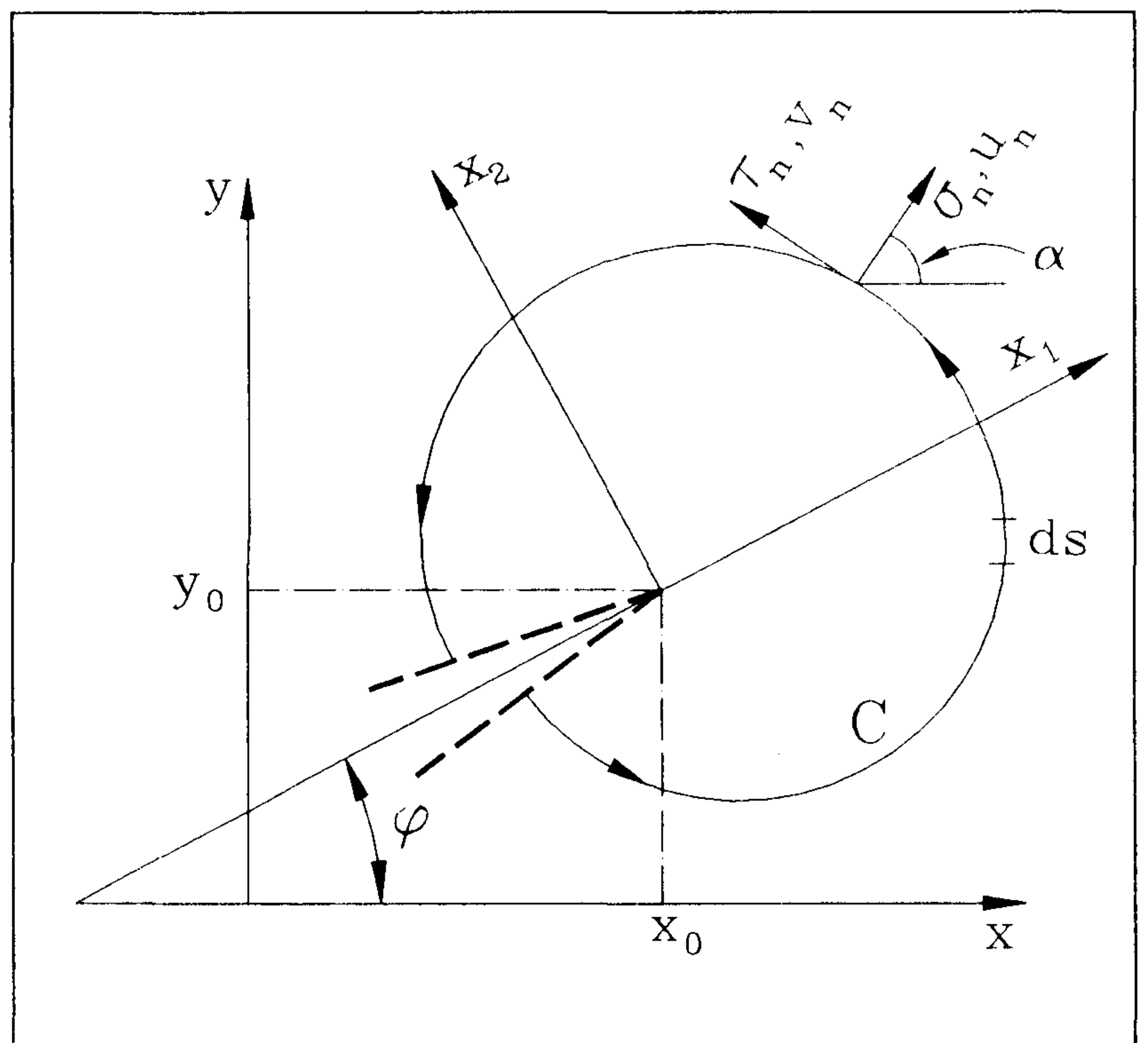
رابطه فوق به رابطه زیر خواهیم رسید:

$$\begin{aligned}J_1 &= \int_C W (-\sin\varphi dx + \cos\varphi dy) - \int_C \sigma_x \varepsilon_x \cos\varphi dy \\ &\quad - \sigma_y \varepsilon_y \sin\varphi dx + \tau_{xy} \varepsilon_y \sin\varphi dy - \tau_{xy} \varepsilon_x \cos\varphi dx \\ &\quad + \tau_{xy} \varepsilon_{xy} \cos\varphi dy - \tau_{xy} \varepsilon_{xy} \sin\varphi dx \\ &\quad + (\sigma_x \sin\varphi - \tau_{xy} \cos\varphi) \frac{\partial v}{\partial y} dy \\ &\quad - (\sigma_y \cos\varphi - \tau_{xy} \sin\varphi) \frac{\partial v}{\partial x} dx\end{aligned}\quad (49)$$

با روشی مشابه با آنچه که برای استخراج معادله (۴۹) بکار

این کار یک ترک مورب دلخواه را در یک جسم دو بعدی و با فرض همگن بودن مواد، در نظر می گیریم، شکل (۳). در حالت کلی فرض می کنیم که تنشها و تغییر مکانها در دستگاه مختصات مرجع  $xy$  محاسبه شده اند. حال دستگاه مختصات محلی  $x_1x_2$  را به گونه ای اختیار می کنیم که نوک ترک در مبدأ و ترک در امتداد  $x_1$  منفی باشد، لذا از رابطه (۵) و با توجه به شکل (۳) داریم:

$$J_1 = \int_C \{W \cdot dx_2 - [\sigma_n \tau_n] \cdot \left[ \frac{\partial u_n}{\partial x_1} \frac{\partial v_n}{\partial x_1} \right]^T ds\} \quad (42)$$



شکل ۳: مسیر انتگرال گیری برای یک ترک دلخواه و موقعیت دستگاههای مختصات محلی  $x_1x_2$  و مختصات مرجع  $xy$

که در آن  $T$  عملگر ترانهاده است. از طرفی با استفاده از رابطه تبدیل مختصات  $\sigma_{ij} = a_{il} a_{jm} \sigma_{lm}$  خواهیم داشت:

$$\begin{aligned}\sigma_n &= \sigma_x \cos^2\alpha + \sigma_y \sin^2\alpha + 2\tau_{xy} \sin\alpha \cos\alpha \\ \tau_n &= (\sigma_y - \sigma_x) \sin\alpha \cos\alpha + \tau_{xy} (\cos^2\alpha - \sin^2\alpha)\end{aligned}\quad (43)$$

با استفاده از روابط بین مختصات مرجع و محلی می توان روابط زیر را نتیجه گرفت:

$$dx_1 = \frac{\partial x_1}{\partial x} dx + \frac{\partial x_1}{\partial y} dy = \cos\varphi dx + \sin\varphi dy \quad (44)$$

$$dx_2 = \frac{\partial x_2}{\partial x} dx + \frac{\partial x_2}{\partial y} dy = -\sin\varphi dx + \cos\varphi dy$$

-  $[\sigma_x \cos\varphi + \tau_{xy} \sin\varphi] du$  برای مسیر افقی

$$J_1 = \int \{ [(-W + \sigma_y \varepsilon_y + \tau_{xy} \gamma_{xy}) \sin\varphi + \tau_{xy} \varepsilon_x \cos\varphi] dx \\ + [\sigma_y \cos\varphi - \tau_{xy} \sin\varphi] dv \}$$

$$J_2 = \int \{ [(-W + \sigma_y \varepsilon_y + \tau_{xy} \gamma_{xy}) \cos\varphi - \tau_{xy} \varepsilon_x \sin\varphi] dx \\ - [\sigma_y \sin\varphi + \tau_{xy} \cos\varphi] dv \}$$

در روابط فوق برای حالت الاستیک خطی  $\varphi = 0$  است. اگر  $\varphi \neq 0$  باشد روابط فوق باز هم ساده‌تر شده و در صورتی که بار عمود بر امتداد ترک وارد شود می‌توان نشان داد که مؤلفه  $J_2$  صفر شده و تنها  $J_1$  باقی می‌ماند. در روش محاسبه عددی، مقدار  $J$  بین هر دو گره مجاور روی مسیر انتگرال گیری یعنی گره  $i+1$  و گره  $(i+1)$  ام حساب شده و سپس مقادیر حاصل برای کل مسیر با هم جمع بسته می‌شود لذا برای محاسبه عددی، معادله (۴۹) را به شکل زیر می‌نویسیم:

$$J_1 = \sum_{i=1}^m \frac{W_i + W_{i+1}}{2} (-\sin\varphi \cdot \Delta x + \cos\varphi \cdot \Delta y) \\ - (\sigma_x \cdot \varepsilon_x + \sigma_{x_{i+1}} \cdot \varepsilon_{x_{i+1}}) \cos\varphi \frac{\Delta y}{2} \\ - (\sigma_y \cdot \varepsilon_y + \sigma_{y_{i+1}} \cdot \varepsilon_{y_{i+1}}) \sin\varphi \frac{\Delta x}{2} \\ + (\sigma_{xy} \cdot \varepsilon_{xy} + \sigma_{xy_{i+1}} \cdot \varepsilon_{xy_{i+1}}) \sin\varphi \frac{\Delta y}{2} - \text{etc.} \quad (53)$$

در معادله فوق  $n$  تعداد گره‌های روی مسیر انتگرال گیری است و مقادیر  $\sigma_x, \varepsilon_x, \sigma_{xy}, \varepsilon_{xy}$  و  $\Delta x = x_{i+1} - x_i$  و  $\Delta y = y_{i+1} - y_i$  که برای محاسبه معادله (۵۳) لازم است با استفاده از داده‌های ورودی و خروجی متنج از تحلیل اجزاء محدود جسم مورد نظر، بدست می‌آید. رابطه مشابهی نیز می‌توان برای  $J_2$  استخراج نمود.

کاربرد برای حالت ترکیبی II&I در صفحات غیرمتجانس برای ترک مرکزی مورب

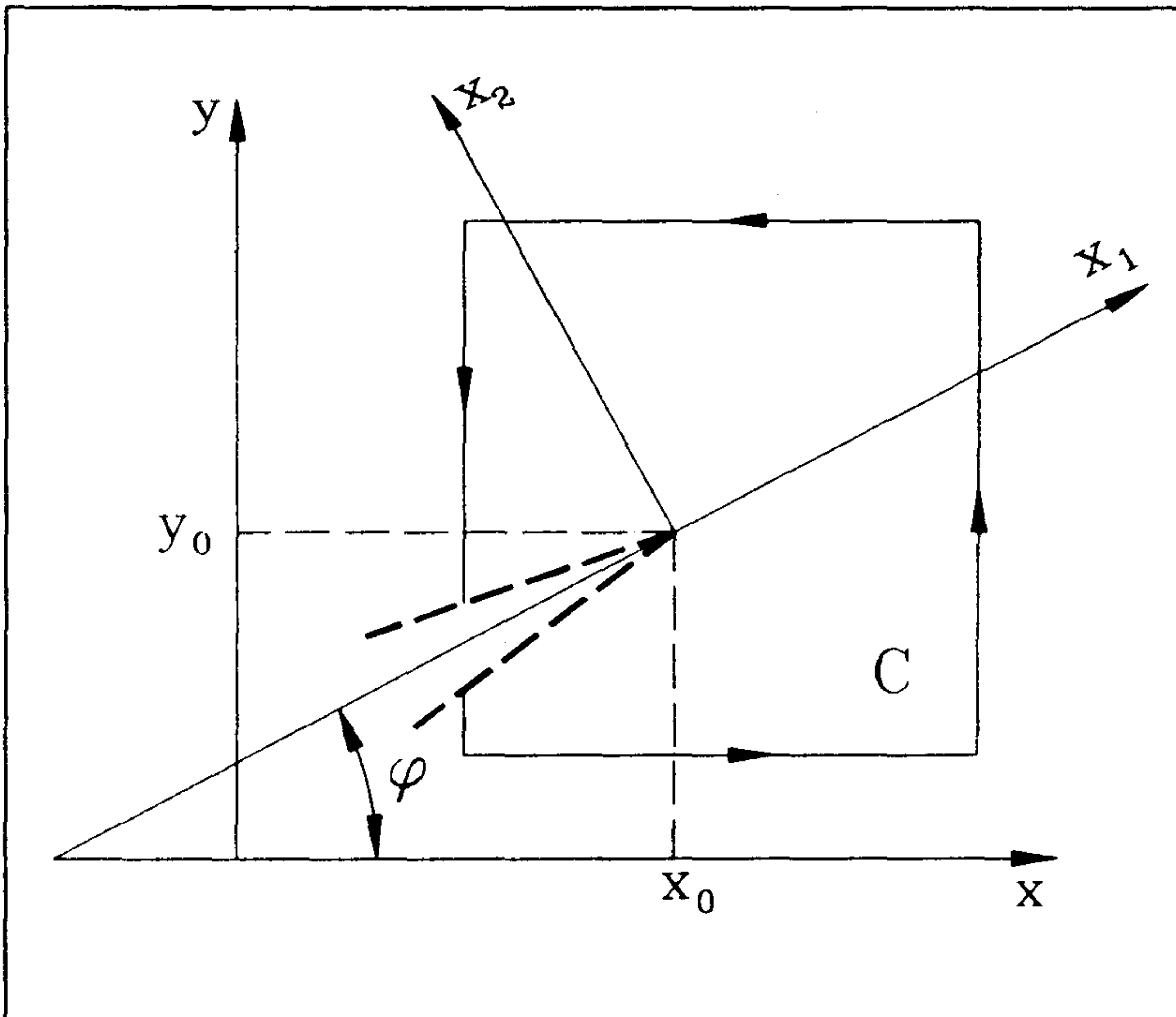
شکل (۵) یک ترک مورب به طول  $2a$  را در یک صفحه

گرفته شد می‌توان نشان داد که:

$$J_2 = - \int_C W (\cos\varphi dx + \sin\varphi dy) + \int_C \sigma_x \varepsilon_x \sin\varphi dy \\ + \sigma_y \varepsilon_y \cos\varphi dx - \tau_{xy} \varepsilon_x \sin\varphi dx - \tau_{xy} \varepsilon_y \cos\varphi dy \\ + \tau_{xy} \varepsilon_{xy} \sin\varphi dy - (\sigma_x \cos\varphi + \tau_{xy} \sin\varphi) \frac{\partial u}{\partial y} dy \\ - (\sigma_y \sin\varphi + \tau_{xy} \cos\varphi) \frac{\partial v}{\partial x} dx \quad (50)$$

اما با توجه به اینکه:  
 $du = \frac{\partial u}{\partial x} dx + \frac{\partial u}{\partial y} dy, \quad dv = \frac{\partial v}{\partial x} dx + \frac{\partial v}{\partial y} dy \quad (51)$

چنانچه  $du = \frac{\partial u}{\partial y} dy$  باشد، آنگاه:  $dy = \frac{\partial u}{\partial y} dx$  و اگر  $dv = \frac{\partial v}{\partial x} dx$  باشد، آنگاه:  $dx = \frac{\partial v}{\partial y} dy$  خواهد بود. بنابراین اگر مسیر انتگرال گیری مانند شکل (۴)، مستطیل (یا مربع) شکل بوده و اضلاع آن به موازات محورهای مختصات دستگاه مرجع  $xy$  واقع شده باشد، آنگاه روابط (۴۹) و (۵۰) را



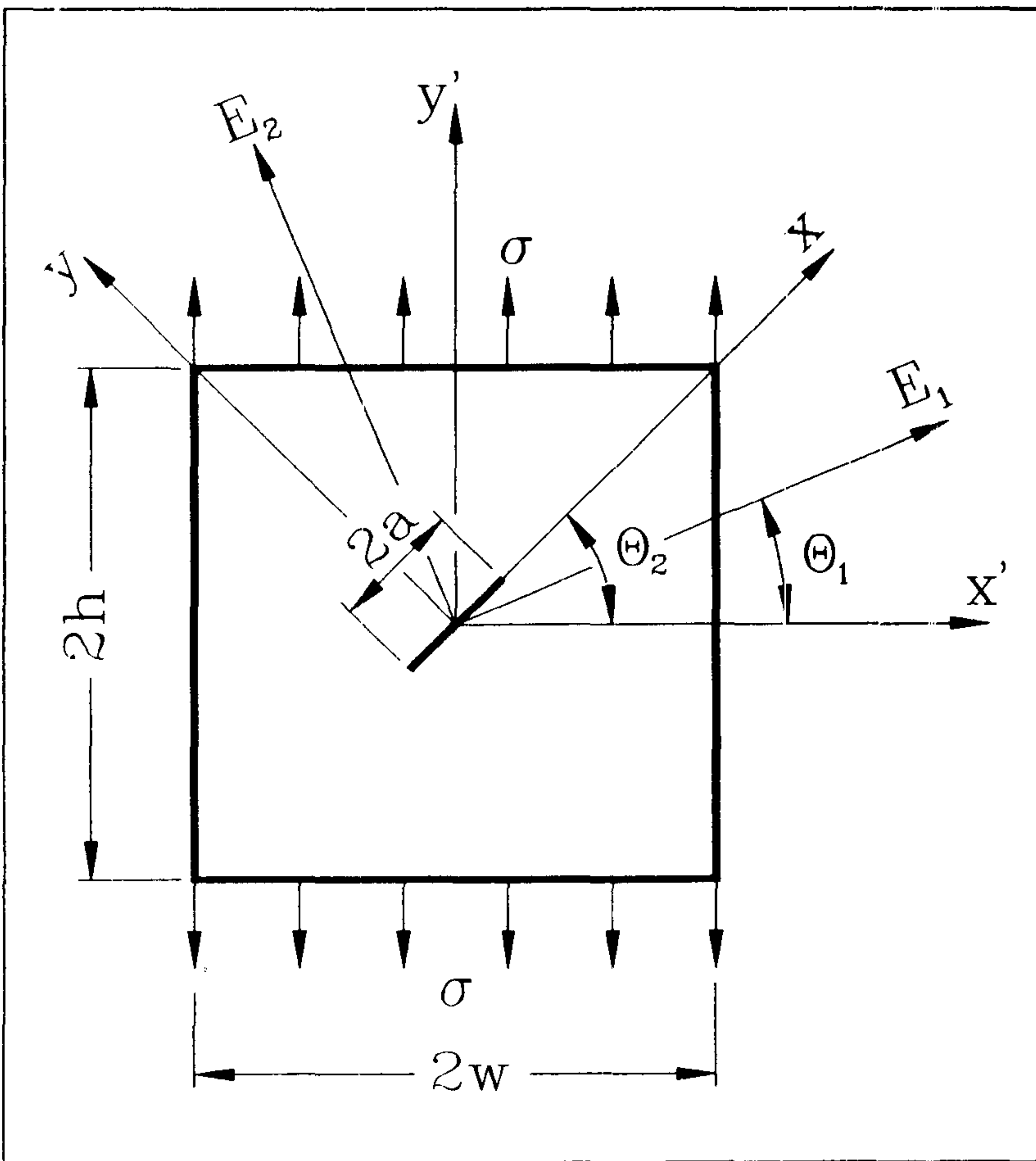
شکل ۴: مسیر انتگرال گیری به شکل مستطیلی که اضلاع آن به موازات محورهای دستگاه مختصات مرجع قرار گرفته‌اند.

می‌توان به شکل ساده زیر نوشت:

برای مسیر عمودی

$$J_1 = \int \{ [(W - \tau_x \varepsilon_x - \sigma_{xy} \gamma_{xy}) \cos\varphi - \tau_{xy} \varepsilon_y \sin\varphi] dy \\ - [\sigma_x \sin\varphi - \tau_{xy} \cos\varphi] du \} \quad (52)$$

$$J_2 = \int \{ [(-W + \sigma_x \varepsilon_x + \tau_{xy} \gamma_{xy}) \sin\varphi - \tau_{xy} \varepsilon_y \cos\varphi] dy \}$$



شکل ۵: ترک مورب در صفحه‌ای مستطیل شکل تحت بار یکنواخت کششی.

معادله مشخصه (۱۳) در دستگاههای مختصات  $xy$  و  $x'y'$  تغییر خواهد کرد. لذا، برای تعیین ضرایب در این دو دستگاه بایستی از رابطه تبدیل خواص مواد استفاده شود. این رابطه در مرجع [۲۱] برای حالت تنش صفحه‌ای بصورت زیر بدست آمده است:

$$[\alpha] = [T]^T \cdot [\alpha'] \cdot [T] \quad (54)$$

که در آن ماتریس تبدیل  $[T]$  با رابطه زیر مشخص می‌شود، همچنین  $[T]^T$  ترانهاده ماتریس  $[T]$ ،  $[\alpha']$  ماتریس ضرایب معلوم در دستگاه  $E_1E_2$  و  $[\alpha]$  ماتریس ضرایب مجهول می‌باشد که با قراردادن  $\theta_1 = \theta$  و  $\theta_2 = \theta - \theta_1$  به ترتیب ماتریس ضرایب در دستگاههای  $x'y'$  و  $xy$  بدست می‌آید.

$$[T] = \begin{bmatrix} \cos^2\theta & \sin^2\theta & 2\sin\theta\cos\theta \\ \sin^2\theta & \cos^2\theta & -2\sin\theta\cos\theta \\ -\sin\theta\cos\theta & \sin\theta\cos\theta & \cos^2\theta - \sin^2\theta \end{bmatrix} \quad (55)$$

در جدول (۱) ضرایب الاستیک که به ازای زوایای

ارتوتروپیک به طول  $2h$  و عرض  $2W$  که تحت بار کششی یکنواخت  $\sigma$  است، نشان می‌دهد. دستگاه مختصات  $x'y'$  به عنوان دستگاه مرجع انتخاب شده است و جهات مختلف نسبت به آن سنجیده می‌شود. محورهای اصلی ارتوتروپی نسبت به دستگاه مختصات مرجع با زاویه  $\theta_1$  در نظر گرفته شده‌اند. همچنین دستگاه مختصات  $xy$  با دورانی به اندازه  $\theta_2$  نسبت به دستگاه مختصات مرجع، بدست می‌آید. ترک روی محور  $x$  از دستگاه مختصات  $xy$  قرار دارد. برای زوایای  $\theta_1$  و  $\theta_2$  و طول ترک  $a$ ، می‌توان مقادیر مختلف در نظر گرفت. به منظور مقایسه نتایج روش حاضر با مرجع [۴] ثابت‌های مواد به صورت زیر در نظر گرفته شده‌اند.

$$\mu_{12} = 10^6 \quad \nu_{12} = 0/29 \\ E_1 = 7 \times 10^6 \quad E_2 = 2/5 \times 10^6$$

در نتیجه برای این ماده، ضرایب الاستیک در رابطه (۷) از روابط زیر بدست می‌آید.

$$\alpha_{11} = \frac{1}{E_1} \quad \alpha_{12} = -\frac{\nu_{12}}{E_1} \quad \alpha_{22} = \frac{1}{E_2} \\ \alpha_{66} = \frac{1}{\mu_{12}} \quad \alpha_{16} = \alpha_{26} = 0$$

مقادیر فوق برای مدول یانگ و مدول برشی بر حسب psi هستند که در روش حاضر بر حسب مگاپاسکال بکار برده خواهند شد. شایان توجه است که ثابت‌های مورد بحث، مربوط به یکی از مواد مرکب کربن-کربن به نام Glass-epoxy می‌باشد. مواد مذکور از مقاومت و مدول مکانیکی بالا همراه با پایداری حرارتی و شیمیایی عالی در دمای بالا برخوردارند و کاربرد وسیعی در صنایع هوائی دارند.

در این مثال، نسبت طول به عرض صفحه برابر واحد و مقدار بار  $50$  مگاپاسکال فرض شده است. نسبت طول ترک به عرض صفحه  $2/0$  و زاویه انحراف ترک نسبت به دستگاه مختصات مرجع  $45$  درجه در نظر گرفته شده است. زاویه  $\theta_1$  که نمایانگر زاویه بین محور اصلی صلب‌تر ماده ارتوتروپیک و محور افقی دستگاه مختصات مرجع است از صفر تا  $180$  درجه تغییر می‌کند. بدیهی است که با تغییر این زاویه، ضرایب الاستیک و در نتیجه ریشه‌های

شكلی انجام شده که امکان تعریف مسیرهای مستطیل شکل به موازات دستگاه مختصات مرجع فراهم باشد. به منظور دستیابی به شبکه گره‌بندی بهینه از نظر نحوه گره‌بندی و تعداد گرهها و المانهای مورد استفاده، از ویژگی استقلال از مسیر استفاده شده است. زیرا از آنجاکه نتایج حاصل از روش اجزاء محدود تقریبی است، در نتیجه مقادیر انتگرال  $J$  نیز که با استفاده از این نتایج، در مسیرهای مختلف، محاسبه می‌شوند، با یکدیگر کمی اختلاف خواهند داشت و هر چه گره بندی ریزتر و به پیامد

مختلف  $\theta_2 - \theta_1$  به کمک نرم‌افزار MATLAB بدست آمده‌اند، نشان داده شده است.

در جدول (۲) نیز ریشه‌های معادله مشخصه (۱۳) که متناظر با مقادیر جدول (۱) با حل این معادله به کمک نرم‌افزار MATLAB بدست آمده، نشان داده شده است.

برای تعیین مؤلفه‌های  $J$  با استفاده از روابط (۵۲) بایستی میدانهای تنش و تغییر مکان در جسم مورد نظر بدست آمده باشد. در مثالهای ارائه شده برای این منظور از روش اجزاء محدود استفاده شده است. گره‌بندی نیز به

جدول ۱: ضرایب الاستیک برای جهات مختلف خواص مواد، در ماده مرکب Glass-epoxy.

| $\theta_1-\theta_2$ | $\alpha_{11} \times 10^5$ | $\alpha_{12} \times 10^5$ | $\alpha_{16} \times 10^5$ | $\alpha_{22} \times 10^5$ | $\alpha_{26} \times 10^5$ | $\alpha_{66} \times 10^5$ |
|---------------------|---------------------------|---------------------------|---------------------------|---------------------------|---------------------------|---------------------------|
| ۰                   | ۲/۰۷۱۴                    | -۰/۶۰۰۸                   | ۰                         | ۵/۸                       | ۰                         | ۱۴/۵                      |
| ۱۵                  | ۲/۶۶۰۴                    | -۰/۹۳۹۹                   | -۲/۱۰۷۲                   | ۵/۸۸۹۴                    | ۰/۲۴۲۹                    | ۱۳/۱۴۳۲                   |
| ۳۰                  | ۴/۰۲۱۲                    | -۱/۶۱۸۲                   | -۲/۷۸۹۵                   | ۵/۸۸۰۴                    | -۰/۴۳۹۵                   | ۱۰/۴۲۹۶                   |
| ۴۵                  | ۵/۲۹۲۵                    | -۱/۹۵۷۵                   | -۱/۸۶۴۳                   | ۵/۲۹۲۵                    | -۱/۸۶۴۳                   | ۹/۰۷۲۹                    |
| ۶۰                  | ۵/۸۸۰۴                    | -۱/۶۱۸۲                   | -۰/۴۳۹۵                   | ۴/۰۲۱۲                    | -۲/۷۸۹۵                   | ۱۰/۴۲۹۶                   |
| ۷۵                  | ۵/۸۸۹۴                    | -۰/۹۳۹۹                   | ۰/۲۴۲۹                    | ۲/۶۶۰۳۹                   | -۲/۱۰۷۲                   | ۱۳/۱۴۳۲                   |
| ۹۰                  | ۵/۸                       | -۰/۶۰۰۸                   | ۰                         | ۲/۰۷۱۴                    | ۰                         | ۱۴/۵                      |
| ۱۰۵                 | ۵/۸۸۹۴                    | -۰/۹۳۹۹                   | -۰/۲۴۲۹                   | ۲/۶۶۰۳۹                   | ۲/۱۰۷۲                    | ۱۳/۱۴۳۲                   |
| ۱۲۰                 | ۵/۸۸۰۴                    | -۱/۶۱۸۲                   | ۰/۴۳۹۵                    | ۴/۰۲۱۲                    | ۲/۷۸۹۵                    | ۱۰/۴۲۹۶                   |
| ۱۳۵                 | ۵/۲۹۲۵                    | -۱/۹۵۷۵                   | ۱/۸۶۴۳                    | ۵/۲۹۲۵                    | ۱/۸۶۴۳                    | ۹/۰۷۲۹                    |
| ۱۵۰                 | ۴/۰۲۱۲                    | -۱/۶۱۸۲                   | ۲/۷۸۹۵                    | ۵/۸۸۰۴                    | ۰/۴۳۹۵                    | ۱۰/۴۲۹۶                   |
| ۱۶۵                 | ۲/۶۶۰۴                    | -۰/۹۳۹۹                   | ۲/۱۰۷۲                    | ۵/۸۸۹۴                    | -۰/۲۴۲۹                   | ۱۳/۱۴۳۲                   |
| ۱۸۰                 | ۲/۰۷۱۴                    | -۰/۶۰۰۸                   | ۰                         | ۵/۸                       | ۰                         | ۱۴/۵                      |

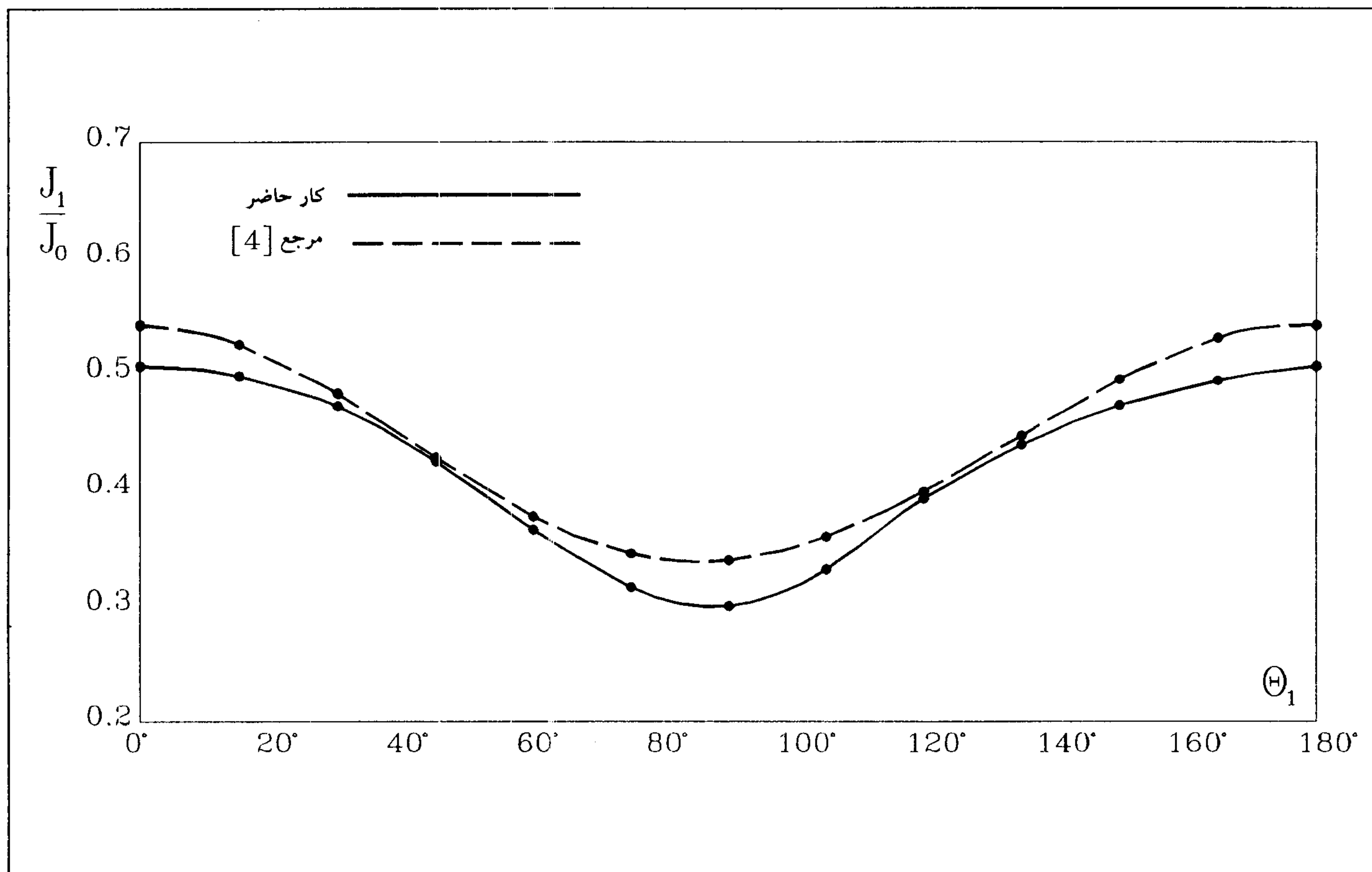
جدول ۲: ریشه‌های معادله مشخصه (۱۳) متناظر با ضرایب جدول (۱).

| $\theta_1-\theta_2$ | $\alpha_1$ | $\beta_1$ | $\alpha_2$ | $\beta_2$ |
|---------------------|------------|-----------|------------|-----------|
| ۰                   | ۰          | ۲/۴۳۹۱    | ۰          | ۰/۶۸۶۰    |
| ۱۵                  | -۰/۹۲۹۳    | ۱/۸۳۱۸    | ۰/۱۳۷۲     | ۰/۷۱۱۳    |
| ۳۰                  | -۰/۹۰۷۹    | ۱/۰۹۰۲    | ۰/۲۶۴۲     | ۰/۷۹۰۷    |
| ۴۵                  | -۰/۷۱۲۲    | ۰/۷۰۲۰    | ۰/۳۶۰۰     | ۰/۹۳۳۰    |
| ۶۰                  | -۰/۴۰۴۸    | ۰/۰۱۷۶    | ۰/۳۸۰۱     | ۱/۱۳۷۷    |
| ۷۵                  | -۰/۲۲۰۳    | ۰/۴۳۴۲    | ۰/۲۶۱۵     | ۱/۳۵۵۵    |
| ۹۰                  | ۰          | ۰/۴۱۰۰    | ۰          | ۱/۴۰۷۷    |
| ۱۰۵                 | ۰/۲۲۰۳     | ۰/۴۳۴۲    | -۰/۲۶۱۵    | ۱/۳۵۵۵    |
| ۱۲۰                 | ۰/۴۰۴۸     | ۰/۰۱۷۶    | -۰/۳۸۰۱    | -۱/۱۳۷۷   |
| ۱۳۵                 | ۰/۷۱۲۲     | ۰/۷۰۲۰    | -۰/۳۶۰۰    | ۰/۹۳۳۰    |
| ۱۵۰                 | ۰/۹۰۷۹     | ۱/۰۹۰۲    | -۰/۲۶۴۲    | ۰/۷۱۱۳    |
| ۱۶۵                 | ۰/۹۲۹۳     | ۱/۸۳۱۸    | -۰/۱۳۷۲    | ۰/۷۱۱۳    |
| ۱۸۰                 | ۰          | ۲/۴۳۹۱    | ۰          | ۰/۶۸۶     |

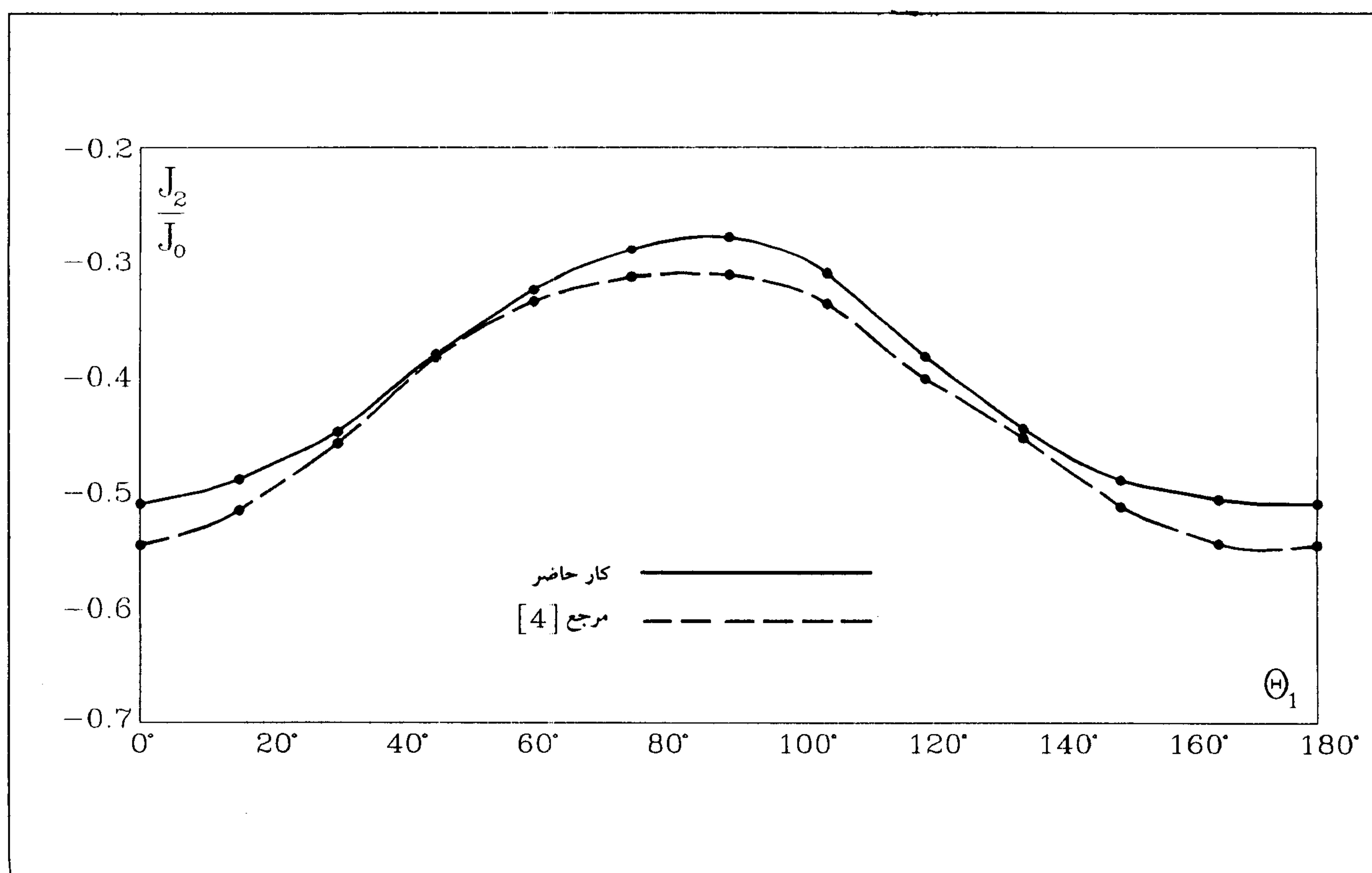
مقادیر انتگرال در مسیرهای مختلف به حد معینی قرار داد. در مثالهای حاضر، چنین روندی بکار گرفته شده است.

پس از تعیین تنشهای و تغییر مکانهای گرهی به ازای هر

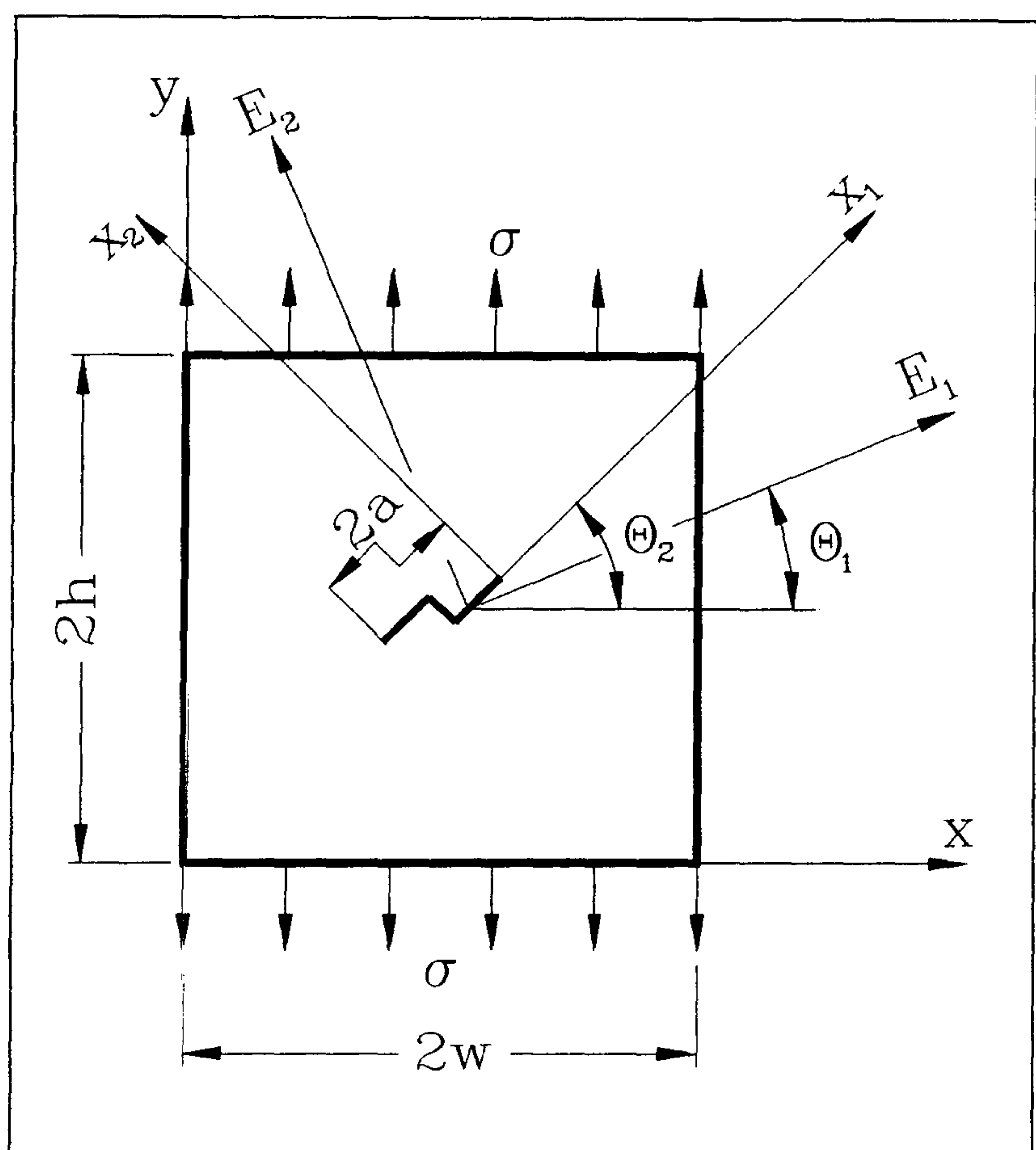
آن، نتایج مذکور دقیقتر باشد، میزان این اختلاف نیز کمتر خواهد شد. حالت آرمانی این است که این اختلاف صفر باشد ولی در کاربردهای عملی می‌توان ملاک را برای دستیابی به گره بندی قابل قبول، رسیدن اختلاف بین



شکل ۶: مقایسه مقادیر بی بعد  $J_1$  به ازای جهات مختلف خواص مواد.



شکل (۷): مقایسه مقادیر بی بعد  $J_2$  به ازای جهات مختلف خواص مواد



شکل ۸: ترک مرکزی کنگرهای شکل در صفحه‌ای مستطیل شکل تحت بار کششی یکنواخت.

مقادیر حاصل در مثال قبل برای همان نسبت طول ترک به عرض صفحه مقایسه شده‌اند. همانگونه که ملاحظه می‌گردد، اختلاف کمی بین نتایج حاصل از دو مثال وجود دارد که بیانگر این نکته است که در مواردی که ترک به صورت مضرس ایجاد شده است، نباید طول ظاهری ترک مدنظر قرار گیرد بلکه باستثنی طول واقعی آن در محاسبات منظور شود.

### بحث نتیجه‌گیری

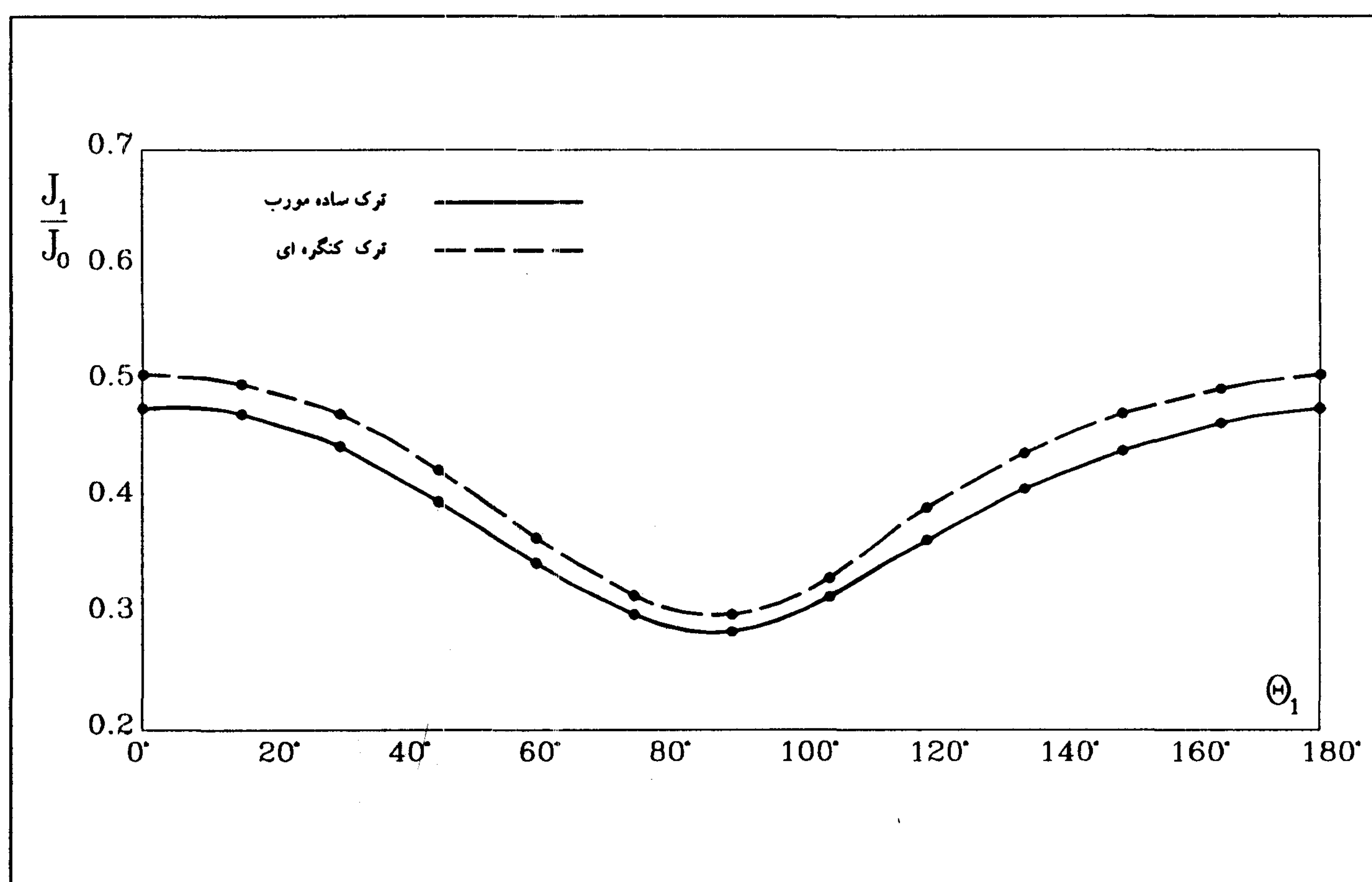
در تحقیق حاضر روش انتگرال J مکمل با روش اجزاء محدود برای تحلیل مسائل ترک در حالت ترکیبی در صفحاتی از جنس مواد غیرمتجانس بسط داده شده است. به علت تکینگی موجود در نوک ترک محاسبات المان محدود در این ناحیه از دقت کافی برخوردار نبوده و توأم با خطای غیر قابل قبولی خواهد بود. اما ویژگی استقلال از مسیر لئه نقیصه کاربرد مستقیم روش اجزاء محدود را برطرف نموده و این امکان را فراهم می‌کند تا پارامتری را

زاویه معین خواص مواد، ابتدا مقادیر مؤلفه‌های J در مسیرهای مختلف با استفاده از یک برنامه کامپیوتری براساس معادلات (۵۲)، محاسبه و سپس میانگین هر مؤلفه بدست آمده و با تقسیم بر  $\frac{\alpha_{22}}{2} = \frac{\mu_1 + \mu_2}{\mu_1 \mu_2}$  که در آن  $k_0 = \sigma \sqrt{\pi a}$  و  $\mu_1, \mu_2$  با فرض  $\theta_1 = 0$  بدست آمده‌اند، به صورت بی‌بعد تبدیل شده است.

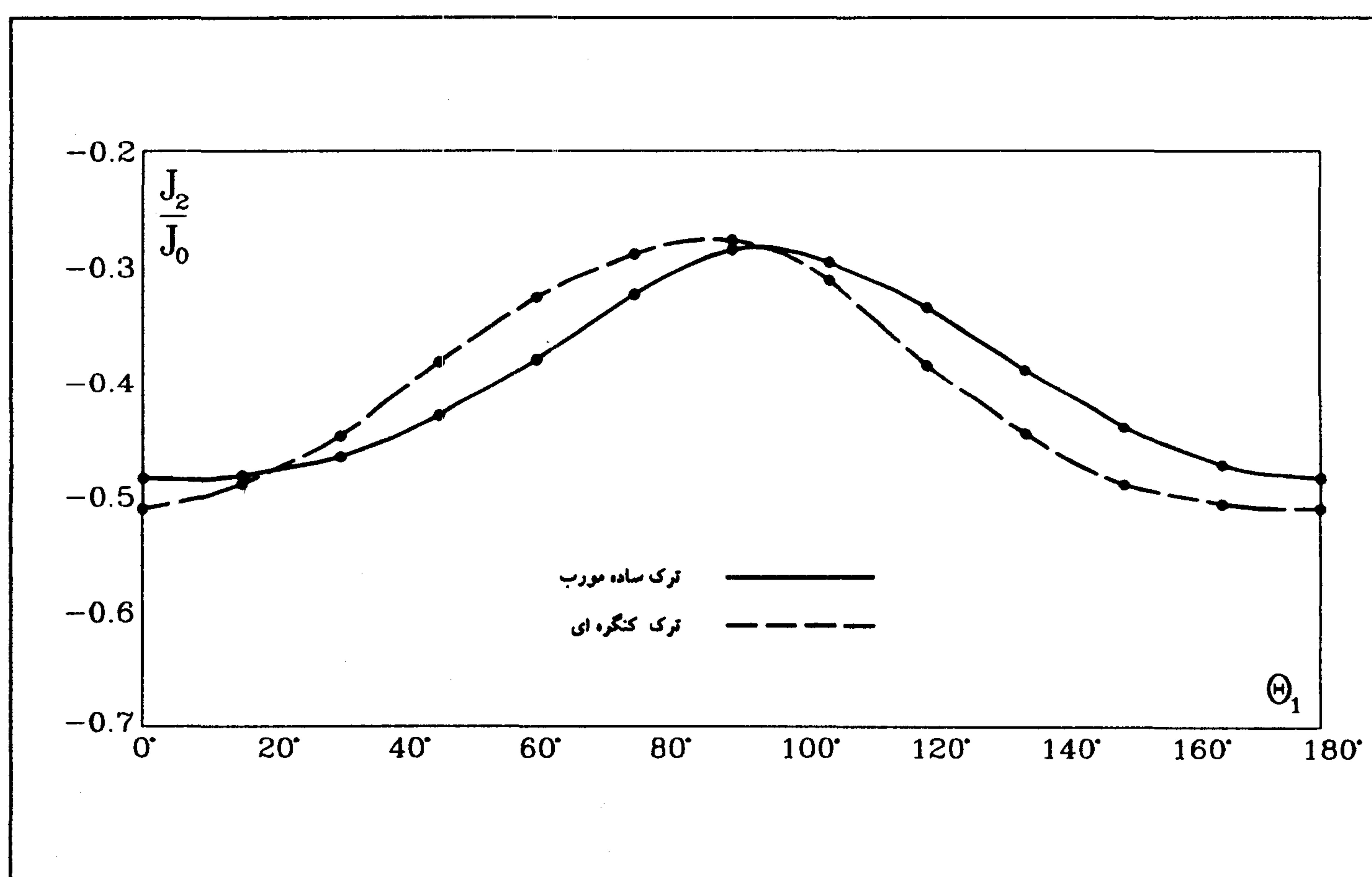
لازم به توضیح است که مسیر انتگرال‌گیری با شماره گرهای روی آن به برنامه معرفی و به دنبال آن، برنامه مقادیر لازم برای محاسبه انتگرال را با توجه به شماره گرهای مذکور از فایلهای اطلاعات ورودی و خروجی برنامه اجزاء محدود استخراج و سپس مقادیر  $J_1$  و  $J_2$  را محاسبه می‌کند. در شکل‌های (۶) و (۷) نتایج بدست آمده با نتایج مرجع [۴] مقایسه شده‌اند. شایان ذکر است که در مثال حاضر، به منظور مقایسه نتایج به جای اینکه با استفاده از روابط (۴۰) مقادیر  $k_I$  و  $k_{II}$  با معلوم بودن  $J_1$  و  $J_2$  بدست آید، بر عکس عمل شده است، یعنی با توجه به مقادیر معلوم  $k_I$  و  $k_{II}$  در مرجع [۴] با استفاده از روابط مذکور، مقادیر  $J_1$  و  $J_2$  متناظر با آنها بدست آمده است. علت این کار این است که معادلات (۴۰) بر حسب  $k_I$  و  $k_{II}$  غیر خطی بوده و نسبت به مقدار ضرایب، فوق العاده حساس می‌باشد و لذا محاسبه ضرایب شدت تنش با دقت قابل قبول با استفاده از معادلات مذکور و با توجه به معلوم بودن  $J_1$  و  $J_2$  مستلزم محاسبه بسیار دقیق این دو مقدار است.

### کاربرد برای حالت ترکیبی II&I در صفحات غیرمتجانس برای ترک کنگرهای شکل

به منظور نشان دادن توانائی روش انتگرال J برای تحلیل مسائل پیچیده ترک، مسئله ترکی کنگرهای شکل، مطابق با شکل (۸) حل گردیده است. ابعاد صفحه و جنس مواد، همانند مثال قبل است. نسبت طول کلی ترک نسبت به عرض صفحه برابر  $2/0$  انتخاب شده است. مقادیر بی‌بعد  $J_1, J_2$  به صورت ترسیمی در شکل‌های (۹) و (۱۰) نمایش داده شده و با



شکل ۹: مقایسه مقادیر بسی بعد  $J_1$  به ازای جهات مختلف مواد در صفحه‌ای دارای ترک مرکزی کنگره‌ای شکل از جنس Glass-epoxy با صفحه‌ای با همان مشخصات ولی دارای ترک ساده مورب (مثال قبل).



شکل (۱۰): مقایسه مقادیر بسی بعد  $J_2$  به ازای جهات مختلف خواص مواد در صفحه‌ای دارای ترک مرکزی کنگره‌ای شکل از جنس Glass-epoxy با صفحه‌ای با همان مشخصات ولی دارای ترک ساده مورب (مثال قبل).

بود. همچنین به منظور نشان دادن توانائی روش حاضر در تحلیل مسائل پیچیده، مسئله ترکی مرکزی و کنگرهای شکل در حالت ترکیبی و در صفحه‌ای از جنس مواد غیرمتجانس حل گردید. مقایسه بین نتایج مثال دوم با مثال اول حاکی از این نکته است که در مواردی که ترک به صورت مضرس ایجاد شده است، باید طول ظاهری ترک مدنظر قرار گیرد بلکه بایستی طول واقعی آن در محاسبات منظور شود. البته اظهارنظر قطعی در این خصوص، مستلزم بررسی بیشتر با درنظر گرفتن ترکهای کنگرهای با زوایای مختلف شکستگی است. بایستی خاطر نشان گردد که چنانچه چگالی انژی کرنشی  $W$  از رابطه (۴۲) محاسبه شود، روابط (۵۲)، را می‌توان برای حالت غیرخطی نیز بکار برد. زیرا در استخراج این روابط فرضی در خصوص رفتار مواد، اعم از خطی یا غیرخطی صورت نگرفته است. لذا در روش حاضر، منظور کردن اثر ناحیه پلاستیک اطراف نوک ترک در محاسبات، تنها به توانایی تحلیل پلاستیک در روش اجزاء محدود مکملی بستگی دارد که برای محاسبه تنش، کرنش و تغییر مکان نقاط گرهی بکار می‌رود. لازم به توضیح است که چنانچه اثر ناحیه پلاستیک اطراف نوک ترک در محاسبات منظور نگردد و تغییر شکل در تمام نقاط جسم، الاستیک خطی فرض شود، در هر دو حالت تنش صفحه‌ای و کرنش صفحه‌ای، مقادیر حاصل برای ضرایب شدت تنش، یکسان خواهد بود. واضح است که دلیل این امر خطی بودن معادلات مورد استفاده در محاسبات با توجه به فرض مذکور خواهد بود. برای استفاده از روش حاضر در کاربردهای عملی توصیه می‌شود، برنامه‌ای تهیه شود که عملیات گره‌بندی، شبکه‌بندی و تهیه پرونده اطلاعات ورودی را تنها با معلوم بودن مشخصات هندسی ترک و مرز صفحه، بصورت خودکار انجام دهد. در خصوص روابط (۴۰) بایستی اشاره گردد که به علت غیرخطی بودن این روابط، کاربرد آنها به منظور تعیین ضرایب شدت تنش از روی مؤلفه‌های  $J$  برای حالت ترکیبی در مواد غیرمتجانس، توصیه نمی‌شود.

که مشخص کننده میدان تنش حول نوک ترک است، در ناحیه‌ای دور از نوک ترک محاسبه کرد.

در این مقاله پس از مروری بر سوابق تحلیل مسائل حالت ترکیبی در صفحات غیرمتجانس با استفاده از روش‌های عددی، بررسی کوتاهی نیز در خصوص روش انتگرال  $J$  انجام گرفت. به منظور مقایسه نتایج، روابط بین  $J$  با ضرایب شدت تنش در حالت ترکیبی، برای مواد متجانس و غیرمتجانس بدست آمد. برای اینکار پس از بدست آوردن روابط میدانهای تنش و تغییر مکان تکین، با استفاده از روش کار مجازی، روابط مورد نیاز استخراج گردید. برای محاسبه عددی انتگرال  $J$  با در نظر گرفتن مسیرهایی به موازات دستگاه مختصات مرجع جسم، معادلات لازم به شکلی بازنویسی شد که شامل مشتقهای جزئی نباشند. این‌کار، این امکان را فراهم می‌کند که از نرم افزارهای معمول که برای تحلیل سازه‌ها براساس روش اجزاء محدود تهیه شده است، برای تعیین مقادیر لازم در محاسبه انتگرال سود جست. به منظور دستیابی به حالتی بهینه از نظر تعداد گره‌ها و المانهای مورد استفاده و نحوه گره بندی، ملاک بر استقلال از مسیر  $J$  قرار داده شد. برای محاسبه عددی انتگرال  $J$  از یک برنامه کامپیوتری استفاده گردید که داده‌های ورودی آن تنش، تغییر مکان و مختصات نقاط گرهی روی مسیر انتگرال گیری است که خود برنامه آنها را از فایلهای اطلاعات ورودی و خروجی برنامه اجزاء محدود، استخراج می‌کند. همچنین به منظور محاسبه ریشه‌های معادله مشخصه و ضرایب الاستیک برای خواص جهتی متفاوت در مواد غیرمتجانس از نرم افزار MATLAB استفاده شد. برای هر حالت معین، ابتدا مقادیر  $J$  در مسیرهای مختلف تعیین و سپس میانگین آنها برای  $J$  منظور شد. پس از آماده شدن مقدمات، به منظور مقایسه نتایج، مثال حل شده در مرجع [۴] مشتمل بر ترکی مرکزی در صفحه‌ای از جنس ماده مرکب<sup>(۱)</sup> و در حالت ترکیبی، حل گردید که توافق نسبتاً خوبی بین نتایج بدست آمده با نتایج مرجع مذکور برقرار

## مراجع

- 1 - Wilson, W. K. (1971). "Numerical method for determining stress intensity factors of an interior crack in a finite plate." *Journal of Basic Engineering*, 93, 685-690.

- 2 - Cheung, Y.K., Woo, C. W. and Wang, Y. H. (1989). "Stress intensity factors for a circular arc crack by boundary collocation method." *Engineering Fracture Mechanics*, 34, 841-849.
- 3 - Yum, Y. J. and Hong, C. S. (1991). "Stress intensity factors in finite orthotropic plates with a crack under mixed-mode deformation." *International Journal of Fracture*, 47, 53-67.
- 4 - Woo, C. W. and Wang, Y. H. (1993). "Analysis of an internal crack in a finite anisotropic plate." *International Journal of Fracture*, 52, 203-218.
- 5 - Chan, K. S. and Cruse, T. A. (1986). *Engineering Fracture Mechanics*, 23, 863-874.
- 6 - Wang, S. S., Yau, J. F. and Corten, H. T. (1980). "A mixed-mode cracks analysis of rectilinear anisotropic solids using conservation laws of elasticity." *International Journal of Fracture*, 16, 247-259.
- 7 - Deukman An. (1987). "Weight function theory for a rectilinear anisotropic body." *International Journal of Fracture*, 34, 85-109.
- 8 - Sham, T. L. and Zhou, Y. (1989). *International Journal of Fracture*, 40, 13-41.
- 9 - Eshelby, J. D. (1956). "The continuum theory of lattice defects." *Solid State Physics*, 3, Academic Press.
- 10 - Sanders, J. L. (1960). "On the Griffith-Irwin fracture theory." *Journal of Applied Mechanics*, 27, 352-353.
- 11 - Irwin, G. R. (1957). "Analysis of stresses and strain near the end of a crack traversing a plate." *Journal of Applied Mechanics*, 24, 361-364.
- 12 - Cherpanov, G. P. (1967). "Crack propagation in cotinuous media." *Journal of Applied Mathematics and Mechanics, English Translation*, 31, 3, 504.
- 13 - Rice, J. R. (1968). "A path independent integral and the approximate analysis of strain concentration by notches and cracks." *Journal of Applied Mechanics*, 35, 379-386.
- 14 - Knowles, J. K. and Eli Sternberg. (1972). "On a class of coservation laws in linearized and finite elastostatics." *Archive of Rational Mechanics Analysis*, 44, 187-211.
- 15 - Budiansky, B. and Rice, J. R. (1973). "Conservation laws and energy-release rates." *Journal of Applied Mechanics*, 40, 201-203.
- 16 - Hellen, T. K. and Blackburn, W. S. (1975). "The calculation of stress intensity factors for combined tensile and shear loading." *Intenational Journal of Fracture*, 11, 605-617.
- 17 - Bergkvist, H. and Houng, G. L. (1977). "J-Integral related quantities in axisymmetric cases." *International Journal of Fracture*, 13, 556-558.
- 18 - Wang, S. S., Yau, J. F. and Corten, H. T. (1980). "A mixed-mode cracks analysis of rectilinear anisotropic solids using conservation laws of elasticity." *International Journal of Fracture*, 16, 247-259.
- 19 - Chiarelli, M. and Frediani, A. (1993). "A computation of the three-dimensional J-Integral for elastic materials with a view to applications in fracture mechanics." *Engineering Fracture Mechanics*, 44, 763-788.
- 20 - Lekhnitskiy, S. G. (1963). "Theory of elasticity of an anisotropic elastic body." Holden-day, SanFrancisco.
- 21 - Jones, R. M. (1975). "Mechanics of composite materials." McGraw-hill, Washington.D.C.